

- [4] Гинзбург Н.С. // Письма в ЖТФ. 1988. Т. 14. № 5. С. 440-444.
- [5] Ильинский Ю.А., Маслова Н.С. // ЖЭТФ. 1988. Т. 94. № 1. С. 171-174.
- [6] Гинзбург Н.С., Зотова И.В. // Письма в ЖТФ. 1989. Т. 15. № 4. С. 83-87.
- [7] Вайнштейн Л.А., Клэев А.И. Лекции по электронике СВЧ и радиофизике. 8 школа-семинар инженеров. Кн. 1, Саратов: СГУ, 1989. С. 25.
- [8] Кобелев Ю.А., Островский Л.А., Соустова И.А. // Изв. вузов. Радиофизика. 1986. Т. 24. № 9. С. 1129-1135.
- [9] Бендицкая Л.М., Кобелев Ю.А., Островский Л.А., Соустова И.А. // Акустический журнал. 1988. Т. 34. № 4. С. 593-597.

Поступило в Редакцию  
1 июня 1990 г.

Письма в ЖТФ, том 16, вып. 20

26 октября 1990 г.

07; 12

© 1990

ОПРЕДЕЛЕНИЕ ПОТЕРЬ В ПЛАНАРНЫХ  
ОПТИЧЕСКИХ ВОЛНОВОДАХ С ВЫСОКИМ  
КОЭФФИЦИЕНТОМ ПОГЛОЩЕНИЯ  
МЕТОДОМ ЭЛЛИПСОМЕТРИИ

П.М. Житков, А.С. Смаль

Оптические волноводы с поглощающими слоями служат основой для создания ряда устройств интегральной оптики (ИО), в частности, планарных поляризаторов [1], при разработке которых требуется определять коэффициенты затухания волноводных мод, составляющие величину  $10^2$ - $10^3$  дБ/см. Традиционные методы определения потерь в волноводах, такие, как метод двух призм, фотометрирование трека, метод скальвания [2] позволяют уверенно определять потери в диапазоне от  $10^{-1}$  до  $10^2$  дБ/см. В работе [3] для определения потерь предложено измерять угловую ширину резонансного провала в коэффициенте отражения при возбуждении волноводной моды с помощью призмы, однако при этом необходимо знать толщину слоя связи. В настоящей работе показано, что если в последнем способе при возбуждении моды проводить эллипсометрические измерения, то можно определять потери, превышающие  $10^2$  дБ/см, при этом толщину слоя связи определять не требуется.

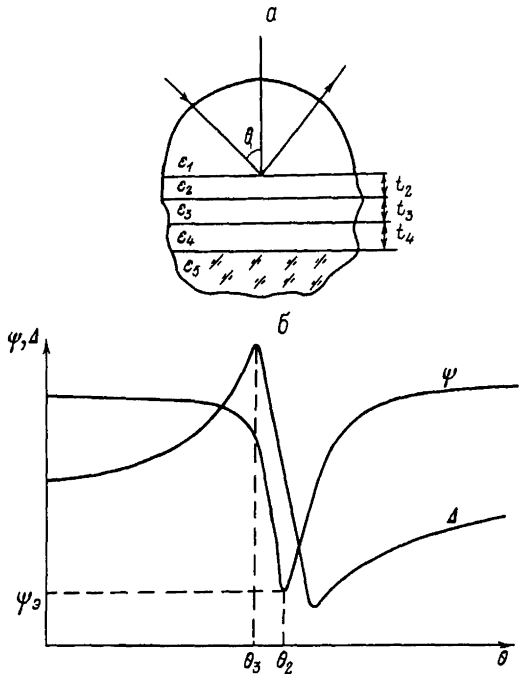


Рис. 1. Четырехслойный пленочный металлизированный волновод с призменным элементом связи (а) и характер изменения  $\Psi$  и  $\Delta$  при резонансном возбуждении моды ТМ поляризации в этой системе (б).

Рассмотрим тонкопленочную систему, состоящую из трех пленок с диэлектрическими проницаемостями  $\epsilon_2$ ,  $\epsilon_3$ ,  $\epsilon_4$  и толщинами  $t_2$ ,  $t_3$ ,  $t_4$ , нанесенных на основание полуцилиндрической призмы с диэлектрической проницаемостью  $\epsilon_1$ . Пленки граничат с полубесконечной средой  $\epsilon_5$  (рис. 1, а). В общем случае любая из сред 2–5 может быть поглощающей. Однако в большинстве практических случаев, включая волноводные поляризаторы на основе рассматриваемой системы, необходимо, чтобы пленки обладали малыми потерями, а в качестве среды 5 использовался металл и выполнялось соотношение  $\epsilon_3 > \epsilon_2$ ,  $\epsilon_4$  [4]. Кроме того, для возбуждения волноводной моды должно выполняться условие  $\epsilon_1 > \epsilon_2$ .

При эллипсометрических измерениях определяются поляризационные углы  $\Psi$  и  $\Delta$ , характеризующие изменение поляризации света при отражении от исследуемой системы. Основное уравнение эллипсометрии имеет вид [5]:

$$\operatorname{tg} \Psi e^{j\Delta} = \frac{r^P}{r^S} = \frac{|r^P|}{|r^S|} \cdot e^{j(\delta_P - \delta_S)}. \quad (1)$$

Величины  $\psi$  и  $\Delta$  характеризуют относительное изменение соответственно модулей и разности фаз комплексных коэффициентов отражения TM (р) и TE (s) поляризованных компонент световой волны. Найдем связь между  $\psi$ ,  $\Delta$  и характеристиками волново-водной моды, возбуждаемой в рассматриваемой системе, а именно с постоянной распространения  $\beta_0$  и коэффициентом затухания  $\alpha_0$ . Последние являются соответственно действительной и мнимой частями комплексной постоянной распространения моды невозмущенного волновода без призмы. Коэффициенты отражения света для системы, показанной на рис. 1, а, имеют вид [6]:

$$r_{1,5}^{P,S} = \frac{r_{1,2}^{P,S} + r_{2,5}^{P,S} e^{-2k_2 t_2}}{1 + r_{1,2}^{P,S} \cdot r_{2,5}^{P,S} \cdot e^{-2k_2 t_2}}, \quad (2)$$

где

$$r_{i,5}^{P,S} = \frac{r_{i,i+1}^{P,S} + r_{i+1,5}^{P,S} e^{-2k_{i+1} t_{i+1}}}{1 + r_{i,i+1}^{P,S} r_{i+1,5}^{P,S} e^{-2k_{i+1} t_{i+1}}}, \quad i=2,3,$$

$$r_{n,n+1}^S = \frac{K_n - K_{n+1}}{K_n + K_{n+1}}, \quad r_{n,n+1}^P = \frac{\epsilon_{n+1} K_n - \epsilon_n K_{n+1}}{\epsilon_{n+1} K_n + \epsilon_n K_{n+1}}, \quad n=1,2,\dots,4,$$

$$k_m = k_0 \sqrt{\beta^2 - \epsilon_m}, \quad \beta = k_0 \sqrt{\epsilon} \sin \theta, \quad k_0 = \frac{2\pi}{\lambda_0}, \quad m=1,2,\dots,5,$$

$\lambda_0$  – длина волны света,  $\theta$  – угол падения излучения на систему. Практически интересен случай, когда связь призмы с волноводом слабая, т.е.  $t_2$  достаточно велика, так что  $e^{-2k_2 t_2} \ll 1$ . Разлагая (2) в ряд вблизи резонанса ( $\beta \approx \beta_0$ ) и подставляя в (1), получаем

$$\operatorname{tg} \psi e^{j\Delta} = e^{j\Delta_3} \frac{(\beta - \beta_0 - \beta_1) - j(\alpha_0 \pm \alpha_1)}{(\beta - \beta_0 - \beta_1) - j(\alpha_0 \mp \alpha_1)}, \quad (3)$$

где  $\Delta_3$  – фиксированное значение параметра  $\Delta$ , которое будет определено ниже;  $\beta_1$  – добавка к действительной части постоянной распространения, вносимая призмой связи;  $\alpha_1$  – добавочный коэффициент потерь за счет переизлучения волноводной моды в призму. Здесь и в дальнейшем верхний знак в формулах относится к случаю возбуждения TE-мод, нижний – TM-мод. Разделим действительную и мнимую части в (3):

$$\operatorname{tg}^2 \psi = \frac{(\beta - \beta_0 - \beta_1)^2 + (\alpha_0 \pm \alpha_1)^2}{(\beta - \beta_0 - \beta_1)^2 + (\alpha_0 \mp \alpha_1)^2}, \quad (4)$$

$$\operatorname{tg}(\Delta - \Delta_3) = \mp \frac{2\alpha_1 (\beta - \beta_0 - \beta_1)}{(\beta - \beta_0 - \beta_1)^2 + \alpha_0^2 - \alpha_1^2}. \quad (5)$$

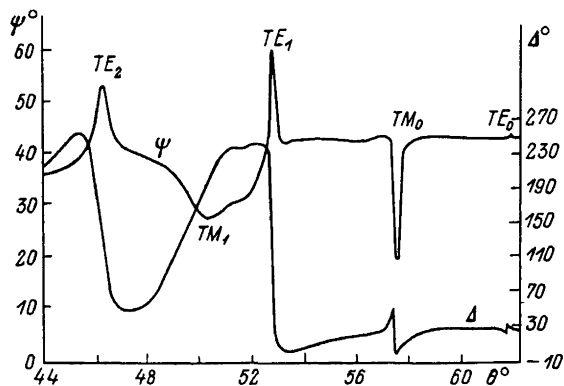


Рис. 2. Экспериментальные зависимости поляризационных углов  $\psi$  и  $\Delta$  от угла падения излучения  $\theta$  на систему призма из стекла ТФ-5 – пленка  $SiO_2$  – пленка  $Ta_2O_5$  – пленка  $SiO_2$  – алюминий.

Анализ полученных выражений показывает, что функция (4) в точке  $\beta_2 = \beta_0 + \beta$ , имеет экстремум (TE-моды – максимум, TM-моды – минимум):

$$tg^2 \psi_3 = \left( \frac{\alpha_0 \pm \alpha_1}{\alpha_0 \mp \alpha_1} \right)^2. \quad (6)$$

Полуширина функции (4) по уровню 0.5 равна  $\delta\beta = |\alpha_0 \mp \alpha_1|$ . Функция (5) при  $\alpha_0 < \alpha_1$ , изменяется монотонно и экстремумов не имеет, а в точках

$$\beta_3 = \beta_2 - \sqrt{|\alpha_0^2 - \alpha_1^2|}, \quad \beta_4 = \beta_2 + \sqrt{|\alpha_0^2 - \alpha_1^2|} \quad (7)$$

угол  $\Delta$  имеет значения  $\Delta_3 \mp \frac{\pi}{2}$  и  $\Delta_4 \pm \frac{\pi}{2}$  соответственно.

Значение функции (5) в точке экстремума функции (4) равна нулю, при этом  $\Delta = \Delta_3$ . При  $\alpha_0 > \alpha_1$ , функция (5) имеет экстремумы в точках  $\beta_3$  (TE-моды – минимум, TM-моды – максимум) и  $\beta_4$  (TE-моды – максимум, TM-моды – минимум). Из рассмотрения (4) и (5) также следует, что если при измерениях возбуждается одна мода, то проведение только амплитудных измерений (угол  $\psi$ ) не позволяет разделить потери  $\alpha_0$  на поглощение в волноводе и потери  $\alpha_1$ , связанные с излучением в призму. Если одновременно с амплитудными проводить фазовые измерения (угол  $\Delta$ ), то становится возможным определить величины  $\alpha_0$  и  $\alpha_1$  по отдельности. Их значения определим, решая систему из уравнения (6) и, например, первого из уравнений (7):

$$\alpha_o = \frac{(\beta_2 - \beta_3)(1 + tg \psi_3)}{2\sqrt{tg \psi_3}}, \quad \alpha_1 = \frac{(\beta_2 - \beta_3)(1 \pm tg \psi_3)}{2\sqrt{tg \psi_3}}. \quad (8)$$

Для определения потерь по (8) в случае, например, возбуждения ТМ-моды при  $\alpha_o > \alpha_1$  (см. рис. 1, б), необходимо определить угол  $\theta_2$  ( $\beta_2 = k_o \sqrt{\epsilon}, \sin \theta_2$ ), при котором зависимость  $\psi(\theta)$  имеет минимум, значение этой функции в точке минимума  $\psi_3 = \psi(\theta_2)$  и величину угла  $\theta_3$ , при котором функция  $\Delta(\theta)$  максимальна. Когда функция  $\Delta(\theta)$  не имеет экстремумов в области резонанса (т.е. при  $\alpha_o < \alpha_1$ ), угол  $\theta_3$  находим из условия  $\Delta(\theta_3) = \Delta_3 - \frac{\pi}{2}$ . В случае возбуждения TE-моды потери определяются аналогичным образом.

Развитая теория справедлива для волноводных мод, длина пробега которых больше длины волны излучения, что дает для  $\lambda_o = 633$  нм верхний предел измеряемых потерь  $\alpha_o \leq 7 \cdot 10^4$  дБ/см. Минимальное значение потерь, которое можно определить данным методом, ограничивается точностью измерения величин  $\psi, \Delta, \theta$  и при приборной точности в  $1'$  оценивается величиной  $\sim 300$  дБ/см.

Экспериментально исследовалась система, состоящая из призмы 1 (стекло ТФ-5), пленки 2 ( $SiO_2$ ) толщиной 510 нм, пленки 3 ( $Ta_2O_5$ ) толщиной 52 нм, пленки 4 ( $SiO_2$ ) толщиной 720 нм. Пленки напылялись методом реактивного ВЧ распыления. В качестве металлического покрытия использовался  $Al$ , который наносился методом ВЧ магнетронного распыления. Измерения проводились на эллипсометре ЛЭФ-3М на длине волны 633 нм. Для компенсации расходности светового пучка, падающего на основание призмы, на плечи эллипсометра устанавливались отрицательные линзы. На рис. 2 приведены экспериментальные зависимости  $\psi(\theta)$  и  $\Delta(\theta)$ . В системе возбуждались 5 низших мод. Коэффициент потерь  $\alpha_o$  моды  $TM_o$ , определенный по (8) из экспериментальных кривых, составил величину 1900 дБ/см. Потери моды  $TE_o$ , распространяющейся в данной системе с затуханием  $\sim 2$  дБ/см, были измерены методом фотометрирования трека. Из проведенных измерений видно, что исследованная тонкопленочная структура может служить эффективным ИО поляризатором.

Таким образом, в работе предложен и экспериментально продемонстрирован метод определения коэффициентов затухания мод волноводов с поглощением с помощью эллипсометрии.

#### Список литературы

- [1] Адамс М. Введение в теорию оптических волноводов. М.: Мир, 1984. 512 с.
- [2] Хансперджер Р. Интегральная оптика. Теория и технология. М.: Мир, 1987. 380 с.
- [3] Дерюгин Л.Н., Марчук А.Н., Сотин В.Е. // Изв. вузов. Радиоэлектроника. 1970. Т. 13. № 8. С. 973-980.

- [4] У а м а м о т о У., К а м и а Т., У а н а и Н. //  
IEEE J. of Quant. Electron. 1975. V. QE-11.  
№9. Р. 729-736.
- [5] Р ж а н о в А.В. Основы эллипсометрии. Новосибирск: Наука, 1979. 422 с.
- [6] Эллипсометрия - метод исследования поверхности. / Под ред.  
Ржанова А.В. Новосибирск: Наука, 1983. 180 с.

Поступило в Редакцию  
18 июня 1990 г.

Письма в ЖТФ, том 16, вып. 20

26 октября 1990 г.

ОЗ

© 1990

ОПРЕДЕЛЕНИЕ ЭНТАЛЬПИИ ЖИДКОСТИ ПО ДАННЫМ  
ФАЗОВОГО РАВНОВЕСИЯ И КОЭФФИЦИЕНТУ  
КОНДЕНСАЦИИ НАСЫЩЕННОГО ПАРА

Л.С. К о т о у с о в

Энталпия простых веществ, отсчитанная от 0, найдена из температурной зависимости объема насыщенного пара при его охижении путем детандирования с непрерывным отделением конденсата от пара.

В литературе [1] приводят значения энталпии, которые отсчитаны от относительно произвольного начала. Однако в совместных процессах диффузии и теплопроводности [2] и при переносе тепла вместе с веществом в открытых системах необходимо знать энталпию веществ, отсчитанную от 0. Такие данные получают, если известны экспериментальные теплоемкость, теплота фазовых переходов и термические параметры вещества как функции температуры и давления от нуля до заданных условий, например [3].

Новую возможность экспрессной оценки энталпии жидкости, равновесной с ее паром, отсчитанной от абсолютного нуля, дает предлагаемая ниже методика расчета объема несконденсированного пара при охижении исходного насыщенного невлажного пара в теоретических условиях квазистатического адиабатного расширения. Рассматриваются два способа мысленного проведения конденсации.

В первом случае жидкость отделяют от пара через конечные, но достаточно малые интервалы понижения температуры по сравнению с полным изменением температуры при расширении. Закон сохранения внутри каждого интервала температуры имеет вид